

บทที่ 4

ผลการทดลอง

ผลทางสิริวิทยา พmvva

จากการตรวจผลการตั้งครรภ์ของหนูและแยมสเตอโรห์องปักษีระยะ L<sub>6</sub> มีค่าเฉลี่ยของจำนวนตัวอ่อนที่ฝังคaviaในเยนังมคลูกหนูเท่ากับ 12 (ตารางที่ 3) ส่วนค่าเฉลี่ยของจำนวนตัวอ่อนที่ฝังคaviaในเยนังมคลูกแยมสเตอโรห์เท่ากับ 13.6 (ตารางที่ 4)

ศึกษาพบว่าไม่มีการฝังคaviaของตัวอ่อนตามเวลาปกติในเยนังมคลูกหนูและแยมสเตอโรห์ถูกตั้งครรภ์ไข่ออกหั้งสองข้างในระยะ L<sub>3</sub> ของการตั้งครรภ์ ขาดอยุ่ระยะ L<sub>6</sub> (ตารางที่ 3 และ 4)

ในหนูห้องปีก stelazine dose 4 mg/100 g./day ตั้งแต่ระยะ L<sub>1</sub> ถึง L<sub>5</sub> ของการตั้งครรภ์ พmvva จำนวนหนูที่มีการฝังคaviaของตัวอ่อนในเยนังมคลูก (implantation) ประมาณ 50 % เมื่อเปรียบเทียบกับหนูห้องปักษี (ตารางที่ 3) ส่วนแยมสเตอโรห์ที่ใช้ทดลองมี implantation ทุกคavia และค่าเฉลี่ยของจำนวน implantation site ประมาณ 52 % เมื่อเปรียบเทียบกับหนูห้องปักษี (ตารางที่ 3) ส่วนแยมสเตอโรห์ที่ใช้ทดลองมี implantation ทุกคavia และค่าเฉลี่ยของจำนวน implantation site ประมาณ 14.8 (ตารางที่ 4)

หนูห้องตั้งครรภ์ไข่ออกหั้งสองข้างในระยะ L<sub>3</sub> ของการตั้งครรภ์ แล้วฉีด progesterone 4 mg/100 g./day หลังจากตั้งครรภ์ไข่จนถึงระยะ L<sub>5</sub> ไม่มีการฝังคaviaของตัวอ่อนในเยนังมคลูกเลย (ตารางที่ 3)

ส่วนแยมสเตอโรห์ treat แบบเดียวกัน พmvva มี implantation เกิดขึ้นทุกคavia และมีค่าเฉลี่ยของจำนวน implantation site ประมาณ 90 % ของแยมสเตอโรห์ห้องปักษี (ตารางที่ 4)

หนูห้องฉูกตั้ครังไข่ออกทั้งสองข้างในระดับ  $L_3$  ของการตั้งครรภ์แล้วนี่คือ progesterone dose 4 mg/100 g./day + E.B. dose 0.1  $\mu$ g/100 g./day ภายในหลังจากตั้ครังไข่ขึ้นถึงระดับ  $L_5$  พบร่วมกับ implantation ประมาณ 40 % เปรียบเทียบกับหนูห้องปักติ และคาดเดียวของ implantation site ประมาณ 11 % ของหนูห้องปักติ (ตารางที่ 3) ส่วนแยมสเตอโรลที่ treat แบบเดียวกัน พบร่วมกับ implantation ทุกตัว แต่คาดเดยว่าของจำนวน implantation site ประมาณ 72 % ของแยมสเตอโรลห้องปักติ (ตารางที่ 4)

ผลการทำงานของเอนไซม์อัลคาไอล์ฟอสฟาเตสในผนังมดลูกหนูระดับก่อนที่จะมีการผิงตัวของตัวอ่อน (ระดับ  $L_4$ ) โดยวิธีวิเคราะห์ทางชีวเคมี

จากตารางที่ 5 และแผนกราฟที่ 1 พบร่วมกับการทำงานของเอนไซม์อัลคาไอล์ฟอสฟาเตสในผนังมดลูกหนูห้องปักติระดับ  $L_4$ , หนูห้องฉูกตั้ครังไข่ออกทั้งสองข้างระดับ  $L_3$  แล้วนี่คือ progesterone 4 mg/100 g./day ภายในหลังจากตั้ครังไข่ ขาดแคลนระดับ  $L_4$  และหนูห้องฉูกตั้ครังไข่ออกทั้งสองข้างระดับ  $L_3$  แล้วนี่คือ progesterone 4 mg/100 g./day + E.B. 0.1  $\mu$ g/100 g./day หลังจากตั้ครังไข่ ขาดแคลนระดับ  $L_4$  ไม่มีความแตกต่างกันทางสถิติ ( $P < 0.01$ ) แต่การทำงานของเอนไซม์ในผนังมดลูกหนูห้องปักติระดับ  $L_4$  ต่ำกว่าระดับ  $L_3$  ขาดแคลนระดับ  $L_4$  สูงกว่าของหนูห้องปักติระดับ  $L_4$  ( $P < 0.01$ ) และการทำงานของเอนไซม์ในผนังมดลูกหนูห้องปักติระดับ  $L_4$  dose 4 mg/100 g./day ตั้งแต่  $L_1$  ถึง  $L_3$  สูงกว่าหนูห้องปักติระดับ  $L_4$  ( $P < 0.05$ )

ผลการทำงานของเอนไซม์อัลคาไลน์ฟอสฟาเตสในเยื่องมดลูกหนูระยะแรกเริ่มที่มีการผึ้งตัวของตัวอ่อน (ระยะ L<sub>6</sub>) โภคภัยชีวิตระบบท่างชีวเคมี

จากตารางที่ 6 และแผนกราฟที่ 1 พบรากурсการทำงานของเอนไซม์ในเยื่องมดลูกหนูห้องปักติระยะ L<sub>6</sub> สูงกวainเยื่องมดลูกหนูหูก treatment คือหนูห้องถูกตัดรังไข่ออกหั้งสองข้างระยะ L<sub>3</sub>, หนูห้องฉีด stelazine dose 4 mg/100 g./day ตั้งแต่ระยะ L<sub>1</sub> ถึง L<sub>5</sub> หนูห้องถูกตัดรังไข่ออกหั้งสองข้างระยะ L<sub>3</sub> แล้วฉีด progesterone 4 mg/100 g./day หลังจากตัดรังไข่จนถึงระยะ L<sub>5</sub> และในหนูห้องถูกตัดรังไข่ออกหั้งสองข้างระยะ L<sub>3</sub> แล้วฉีด progesterone 4 mg/100 g./day + E.B. 0.1 µg/100 g./day ภายหลังจากตัดรังไข่จนถึงระยะ L<sub>5</sub> ( $P < 0.01$ )

ผลเปรียบเทียบการทำงานของเอนไซม์อัลคาไลน์ฟอสฟาเตสในเยื่องมดลูกหนูระยะก่อน (L<sub>4</sub>) และระยะแรกเริ่มที่มีการผึ้งตัวของตัวอ่อน (L<sub>6</sub>) โภคภัยชีวิตระบบท่างชีวเคมี

จากกราฟที่ 1 แสดงว่าการทำงานของเอนไซม์อัลคาไลน์ฟอสฟาเตสในเยื่องมดลูกหนูห้องระยะ L<sub>4</sub> และห้องระยะ L<sub>6</sub> ไม่เหมือนกัน เนื่องจากว่าในหนูห้องถูกตัดรังไข่ระยะ L<sub>3</sub> และหนูห้องฉีด stelazine มีระดับการทำงานของเอนไซม์สูงกวainเยื่องมดลูกหนูห้องปักติระยะ L<sub>4</sub> แต่การทำงานของเอนไซม์ตัวนี้ในเยื่องมดลูกหนูห้องปักติระยะ L<sub>6</sub> กลับสูงกวานหูห้องทุก treatment คือ หนูห้องถูกตัดรังไข่ระยะ L<sub>3</sub>, หนูห้องฉีด stelazine หนูห้องตัดรังไข่แล้วฉีด progesterone และหนูห้องตัดรังไข่แล้วฉีด progesterone + E.B.

ผลการทำงานของเอนไซม์อัลคาไอล์ฟอสฟาเตสในนังมคลูกแยมสเตอรอยด์ระดับเริ่มที่มีการผึ้งตัวของตัวอ่อน ( $L_6$ ) โดยวิธีวิเคราะห์ทางชีวเคมี

จากตารางที่ 7 และแผนกราฟที่ 2 แสดงว่าการทำงานของเอนไซม์อัลคาไอล์ฟอสฟาเตสในนังมคลูกแยมสเตอรอยด์ระดับเริ่มที่มีการผึ้งตัวของตัวอ่อน ( $L_6$ ) โดยวิธีวิเคราะห์ทางชีวเคมี การผึ้งตัวของตัวอ่อน ( $L_6$ ) โดยวิธีวิเคราะห์ทางชีวเคมี

จากการที่ 7 และแผนกราฟที่ 2 แสดงว่าการทำงานของเอนไซม์อัลคาไอล์ฟอสฟาเตสในนังมคลูกแยมสเตอรอยด์ระดับเริ่มที่มีการผึ้งตัวของตัวอ่อน ( $L_6$ ) โดยวิธีวิเคราะห์ทางชีวเคมี การผึ้งตัวของตัวอ่อน ( $L_6$ ) โดยวิธีวิเคราะห์ทางชีวเคมี หลังจากตัวอ่อน ( $L_6$ ) ได้รับ progesterone 4 mg/100 g./day และเยมสเตอรอยด์ระดับ  $L_3$  หลังจากตัวอ่อน ( $L_6$ ) ได้รับ progesterone 4 mg/100 g./day + E.B. 0.1 µg/100 g./day และเยมสเตอรอยด์ระดับ  $L_5$  ไม่มีความแตกต่างกันทางสถิติ ( $P < 0.01$ ) แต่ การทำงานของเอนไซม์ในนังมคลูกแยมสเตอรอยด์ระดับ  $L_6$  ที่ได้รับ progesterone 4 mg/100 g./day ตั้งแต่ระดับ  $L_1$  ถึง  $L_5$  สูงกว่าในเยมสเตอรอยด์ระดับ  $L_6$  ( $P < 0.05$ )

ผลเปรียบเทียบของการทำงานของเอนไซม์อัลคาไอล์ฟอสฟาเตสในนังมคลูกหนูและเยมสเตอรอยด์ระดับเริ่มที่มีการผึ้งตัวของตัวอ่อน ( $L_6$ ) โดยวิธีวิเคราะห์ทางชีวเคมี

จากการที่ 2 การทำงานของเอนไซม์อัลคาไอล์ฟอสฟาเตสในนังมคลูกหนู หลังจากตัวอ่อน ( $L_6$ ) ได้รับ progesterone 4 mg/100 g./day และเยมสเตอรอยด์ระดับ  $L_3$  หลังจากตัวอ่อน ( $L_6$ ) ได้รับ progesterone 4 mg/100 g./day + E.B. 0.1 µg/100 g./day และเยมสเตอรอยด์ระดับ  $L_5$  ไม่มีความแตกต่างกันทางสถิติ ( $P < 0.01$ ) แต่ การทำงานของเอนไซม์ในเยมสเตอรอยด์ระดับ  $L_6$  ที่ได้รับ progesterone 4 mg/100 g./day ตั้งแต่ระดับ  $L_1$  ถึง  $L_5$  สูงกว่าในเยมสเตอรอยด์ระดับ  $L_6$  ( $P < 0.05$ )

ผลการทำงานของเอนไซม์แอลิคฟอสฟ่าเตสในเยนังมดลูกหนูระบะกอนที่จะมีการผึ้งตัวของตัวอ่อน (ระยะ L<sub>4</sub>) โดยวิธีวิเคราะห์ทางชีวเคมี

จากตารางที่ 8 และแผนกราฟที่ 3 แสดงว่าการทำงานของเอนไซม์แอลิคฟอสฟ่าเตสในเยนังมดลูกหนูห้องปักตี (L<sub>4</sub>) หนูห้องดูกตั้ครังไข่ออกหั้งสองข้างระยะ L<sub>3</sub> หนูห้องดูกตั้ครังไข่ออกหั้งสองข้างระยะ L<sub>3</sub> แล้วฉีด progesterone 4 mg/100 g./day หลังจากตั้ครังไข่ และหนูห้องดูกตั้ครังไข่ออกหั้งสองข้างระยะ L<sub>3</sub> แล้วฉีด progesterone 4 mg/100 g./day + E.B. 0.1 µg/100 g./day หลังจากตั้ครังไข่ ไม่มีความแตกต่างกันทางสถิติ ( $P < 0.01$ ) แต่การทำงานของเอนไซมนี้ในเยนังมดลูกหนูห้องนี้ฉีด stelazine 4 mg/100 g./day ตั้งแต่ L<sub>1</sub> ถึง L<sub>3</sub> สูงกว่าในหนูห้องปักตีระยะ L<sub>4</sub> ( $P < 0.05$ )

ผลการทำงานของเอนไซม์แอลิคฟอสฟ่าเตสในเยนังมดลูกหนูระบะแรกเริ่มที่มีการผึ้งตัวของตัวอ่อน (L<sub>6</sub>) โดยวิธีวิเคราะห์ทางชีวเคมี

จากตารางที่ 9 และแผนกราฟที่ 3 และ 4 พบว่าการทำงานของเอนไซม์แอลิคฟอสฟ่าเตสในเยนังมดลูกหนูห้องปักตี หนูห้องตั้ครังไข่ออกหั้งสองข้างระยะ L<sub>3</sub> หนูห้องนี้ฉีด stelazine dose 4 mg/100 g./day ตั้งแต่ระยะ L<sub>1</sub> ถึง L<sub>5</sub> หนูห้องตั้ครังไข่ออกหั้งสองข้างระยะ L<sub>3</sub> แล้วฉีด progesterone 4 mg/100 g./day + E.B. 0.1 µg/100 g./day หลังจากตั้ครังไข่จนถึง L<sub>5</sub> ไม่มีความแตกต่างกันทางสถิติ ( $P < 0.01$ ) แทนหนูห้องตั้ครังไข่ออกหั้งสองข้างระยะ L<sub>3</sub> แล้วฉีด progesterone 4 mg/100 g./day หลังจากตั้ครังไข่จนถึง L<sub>5</sub> มีการทำงานของเอนไซมนี้สูงกว่าในเยนังมดลูกหนูห้องปักตี ( $P < 0.01$ )

ผลเปรียบเทียบการทำงานของเอนไซม์แอลิคฟอสฟ่าเตสในเย้งมคลูกหนูระดับก่อนที่จะมีการฝังตัวของตัวอ่อนกับระยะแรกเริ่มที่มีการฝังตัวของตัวอ่อน โดยวิธีวิเคราะห์ทางชีวเคมี

จากแผนกราฟที่ 3 การทำงานของเอนไซม์แอลิคฟอสฟ่าเตสในเย้งมคลูกหนูห้องปกติระดับ  $L_4$  หนูห้องตั้งรังไข่ระดับ  $L_3$  หนูห้องตั้งรังไข่แล้วฉีด progesterone และหนูห้องตั้งรังไข่แล้วฉีด progesterone + E.B. ในแต่ละตัว กลับสูงกว่าหนูห้องปกติระดับ  $L_4$  แต่การทำงานของเอนไซม์ในหนูห้องฉีด stelazine กลับสูงกว่าหนูห้องปกติระดับ  $L_4$

ส่วนในเย้งมคลูกหนูห้องปกติระดับ  $L_6$  มีการทำงานของเอนไซม์แอลิคฟอสฟ่าเตส ทำกว่าในหนูห้องตั้งรังไข่ออกหั้งส่องขาวระดับ  $L_3$  แล้วฉีด progesterone

ผลการทำงานของเอนไซม์แอลิคฟอสฟ่าเตสในเย้งมคลูกแมมส์เตอร์ ระยะแรกเริ่มที่มีการฝังตัวของตัวอ่อน ( $L_6$ ) โดยวิธีวิเคราะห์ทางชีวเคมี

จากการที่ 10 และแผนกราฟที่ 4 แสดงให้เห็นว่าการทำงานของแอลิคฟอสฟ่าเตสในเย้งมคลูกแมมส์เตอร์ทุก ๆ การทดสอบไม่แตกต่างกันทางสถิติ ( $P < 0.01$ )

เปรียบเทียบการทำงานของเอนไซม์แอลิคฟอสฟ่าเตสในเย้งมคลูกหนูและแมมส์เตอร์ ระยะแรกเริ่มที่มีการฝังตัวของตัวอ่อน ( $L_6$ ) โดยวิธีวิเคราะห์ทางชีวเคมี

จากแผนกราฟที่ 4 การทำงานของเอนไซม์แอลิคฟอสฟ่าเตสในเย้งมคลูกหนูและแมมส์เตอร์ ไม่เหมือนกัน เนื่องจากว่าการทำงานของเอนไซม์แอลิคฟอสฟ่าเตสในเย้งมคลูกของแมมส์เตอร์ถูกตั้งรังไข่ออกระดับ  $L_3$  แล้วฉีด progesterone 4 mg/100 g./day หลังจากตั้งรังไข่จนถึงระดับ  $L_5$  มีระดับการทำงานของเอนไซม์แอลิคฟอสฟ่าเตสสูงพอ ๆ กับแมมส์เตอร์ห้องปกติระดับ  $L_6$  แต่ในหนูห้องที่ treat แบบเดียวกันกลับมีระดับการทำงานของเอนไซม์แอลิคฟอสฟ่าเตสสูงกว่าห้องปกติระดับ  $L_6$  เล็กน้อย

ลักษณะทาง Histology ของเยื่อบุคลุกหนูของระยะ L<sub>4</sub> และระยะ L<sub>6</sub>

เยื่อบุคลุกหนูประกอบด้วยชั้นค้าง ๆ ดังรูปที่ 1 และ 2 ซึ่งในสุดเรียกว่า endometrium ประกอบด้วย lumen, luminal epithelium, endometrial gland, blood vessel และ stroma cells ซึ่งถูกมาเป็นชั้น myometrium ประกอบด้วย inner circular muscle, outer longitudinal muscle และมี blood vessel.

การฝังตัวของ blastocyst เกิดขึ้นทางด้าน antimesometrium (รูปที่ 2) ด้าน mesometrium มี blood vessel ในยุก้าด้าน antimesometrium

ลักษณะทาง Histology ของเยื่อบุคลุกแยมสเตอร์ทองปอกตีระยะ L<sub>6</sub> (รูปที่ 3)

ประกอบด้วยชั้น endometrium ซึ่งกว้างกว่าในเยื่อบุคลุกหนูของปอกตีระยะ L<sub>6</sub> มาก ชั้น endometrium ประกอบด้วย lumen, luminal epithelium, endometrial gland จำนวนน้อย blood vessel มาก และ stroma cell มาก ชั้น myometrium ซึ่งประกอบด้วย inner circular muscle และ outer longitudinal muscle แบบ เมื่อเปรียบเทียบกับชั้น endometrium

ผลการทำงานของเอนไซม์อัลคาไลน์ฟอสฟาเตสในเยื่อบุคลุกหนูระยะก่อนและระยะแรกเริ่มที่มีการฝังตัวของตัวอ่อน โดยวิธีวิเคราะห์ทางอิสโคเกนี

จากแผนภาพที่ 4, 5 และ 6 พบร้าบิเวณ luminal epithelium (รูปที่ 4 a, 5 a, 5 b, และ 6 c) glandular epithelium บริเวณ implantation site (รูปที่ 6 a) stroma เชลล์ (รูปที่ 4 a, 5 b, 6 b, และ 6 c) ชั้น myometrium (รูปที่ 4 a, 5 a, 5 b, 6 a, และ 6 d)

และ blood vessels ที่มีขนาดใหญ่ ๆ (รูปที่ 6d) มีเอนไซม์อัลคาไลน์ฟอสฟาเตส  
จำนวนมาก ส่วน glandular epithelium บริเวณที่ไม่มี implantation (รูปที่ 4a,  
5b, และ 6b) มีเอนไซม์อัลคาไลน์ฟอสฟาเตสปานกลาง แต่ stroma เชลด์ที่  
เปลี่ยนไปเป็น decidual เชลด์ตรงบริเวณ implantation site (รูปที่ 5a  
และ 6d) และบริเวณ capillary และ vein (รูปที่ 4a, 5a, 5b, 6a,  
6b, และ 6c) มีเอนไซม์อัลคาไลน์ฟอสฟาเตสสูงมาก

#### เปรียบเทียบผลการทำงานของเอนไซม์อัลคาไลน์ฟอสฟาเตสในเยื่องมดลูกหนึ่งระบบ L<sub>4</sub>

พบว่าบริเวณ apical part ของ luminal epithelium  
ของเยื่องมดลูกหนึ่งถูกตัดรังไข่ออกทั้งสองข้างระบบ L<sub>3</sub> (รูปที่ 4b), หนูหองฉีด  
stelazine 4 mg/100 g./day ตั้งแต่ระบบ L<sub>1</sub> ถึง L<sub>5</sub> (รูปที่ 4c)  
และในหนูหองถูกตัดรังไข่ออกทั้งสองข้างระบบ L<sub>3</sub> และฉีด progesterone เพียง  
อย่างเดียว (รูปที่ 4d) หรือฉีดร่วมกับ E.B. (รูปที่ 4e) สูงกว่าในหนูหองปกติ  
(รูปที่ 4a) ส่วนบริเวณ stroma เชลด์, capillary, vein และชั้น  
myometrium ในเยื่องมดลูกหนึ่ง treatment (รูปที่ 4a, 4b, 4c, 4d  
และ 4e) มีเอนไซม์อัลคาไลน์ฟอสฟาเตสสูงพอ ๆ กัน เมื่อเปรียบเทียบกันในแต่ละส่วน

#### เปรียบเทียบผลการทำงานของเอนไซม์อัลคาไลน์ฟอสฟาเตสในเยื่องมดลูกหนึ่งระบบ L<sub>6</sub> โดยวิธีวิเคราะห์ทางเคมี

พบว่า deciducal เชลด์ บริเวณ implantation site  
ของเยื่องมดลูกหนึ่งปกติระบบ L<sub>6</sub> (รูปที่ 5a, 6a และ 6d) มีเอนไซม์อัลคาไลน์  
ฟอสฟาเตส สูงกว่า stroma เชลด์ บริเวณ interimplantation site  
(รูปที่ 5b, 6b และ 6c), stroma เชลด์ของเยื่องมดลูกหนึ่งถูกตัดรังไข่ออก  
ทั้งสองข้างระบบ L<sub>3</sub> (รูปที่ 5c), stroma เชลด์ของเยื่องมดลูกหนึ่งฉีด

stelazine 4 mg/100 g./day ตั้งแต่ระยะ L<sub>1</sub> - L<sub>5</sub> (รูปที่ 5d และ 6e) stroma เชลล์ของเนื้องอกหุ้งถูกตัดรังไข่ออกทั้งสองข้างระยะ L<sub>3</sub> และฉีด progesterone 4 mg/100 g./day เพียงอย่างเดียว (รูปที่ 5e) หรือฉีดรวมกับ E.B. 0.1 µg/100 g./day (รูปที่ 5f) ภายในผิวจากตัดรังไข่จนถึงระยะ L<sub>5</sub>

ส่วน apical part ของ luminal epithelium และ glandular epithelium ของเนื้องอกหุ้งถูกตัดรังไข่ทั้งสองข้างระยะ L<sub>3</sub> (รูปที่ 5c) และเนื้องอกหุ้งถูกตัดรังไข่ออกทั้งสองข้างระยะ L<sub>3</sub> และฉีด progesterone 4 mg/100 g./day เพียงอย่างเดียว (รูปที่ 5e) สูงกว่าในเนื้องอกหุ้งปกติระยะ L<sub>6</sub> (รูปที่ 5a, 5b, และ 6e) และเนื้องอกหุ้งถูกตัดรังไข่ออกทั้งสองข้างระยะ L<sub>3</sub> และฉีด progesterone 4 mg/100 g./day + E.B. 0.1 µg/100 g./day (รูปที่ 5f) ส่วนบริเวณอื่น ๆ ของเนื้องอกหุ้งระยะ L<sub>6</sub> ทุก treatment (รูปที่ 5a, 5b, 5c, 5d, 5e และ 5f) มีเอนไซม์อัดค่าไอล์ฟอสฟาเตสสูงพอ ๆ กัน เมื่อเปรียบเทียบกับแต่ละส่วน

ผลการทำงานของเอนไซม์อัดค่าไอล์ฟอสฟาเตสในเนื้องอกหุ้งระยะ L<sub>6</sub> ที่มีการผึ้งตัวของตัวอ่อนโดยวิธีวิเคราะห์ทางชีสโตริกเคมี

จากแผนภาพที่ 7 และ 8 พบร้าบริเวณ luminal epithelium (รูปที่ 7b, 7c และ 8a) glandular epithelium (รูปที่ 7b, 7c และ 8d) และชั้น myometrium (รูปที่ 7b และ 7c) มี enzyme activity น้อยมาก

ส่วน monocyte เชลล์ในชั้น endometrium (รูปที่ 8b), monocyte เชลล์ใน blood vessel (รูปที่ 8f), stroma เชลล์ของ interimplantation site (รูปที่ 7c และ 7e), decidual เชลล์

ของ implantation site (รูปที่ 7 b และ 7 d) และ vein (รูปที่ 7 b, 7 c, 7 d และ 7 e) มีเอนไซม์อัลก้าไลน์ฟอสฟ่าเตสสูงมาก

เปรียบเทียบการทำงานของเอนไซม์อัลก้าไลน์ฟอสฟ่าเตสในเยื่องมดคูกแยมส์เตอร์ห้องปักติระยะ L<sub>6</sub> แยมส์เตอร์ห้องถุงคัตคัรังไข่ออกทั้งสองข้างระยะ L<sub>3</sub> และแยมส์เตอร์ห้องฉีด stelazine 4 mg/100 g./day ตั้งแต่ระยะ L<sub>1</sub> ถึง L<sub>5</sub> โดยวิธีวิเคราะห์ทางอิสตอเคมี

พื้นที่บริเวณ apical part ของ luminal epithelium ในเยื่องมดคูกแยมส์เตอร์ห้องถุงคัตคัรังไข่ออกทั้งสองข้างระยะ L<sub>3</sub> (รูปที่ 7 a และ 8 c) มี enzyme activity สูงกว่าในเยื่องมดคูกแยมส์เตอร์ห้องปักติ (รูปที่ 7 b, 7 c และ 8 a) และในเยื่องมดคูกแยมส์เตอร์ห้องฉีด stelazine (รูปที่ 7 d, 7 e และ 8 e)

ส่วนบริเวณ stroma เชลด์และ decidual เชลด์ (รูปที่ 7 a, 7 b, 7 c, 7 d และ 7 e), glandular epithelium (รูปที่ 7 a, 7 b, 7 c, 7 d, 7 e และ 8 d), vein (รูปที่ 7 a, 7 b, 7 c, 7 d, 7 e, 8 d, และ 8 e) และ myometrium (รูปที่ 7 a, 7 b, 7 c, 7 d, และ 7 e) ของแยมส์เตอร์ห้องปักติ, แยมส์เตอร์ถุงคัตคัรังไข่ระยะ L<sub>3</sub> และ แยมส์เตอร์ห้องฉีด stelazine มีเอนไซม์สูงเท่า ๆ กัน เมื่อเปรียบเทียบกันแต่ละส่วน

ผลการทำงานของเอนไซม์แอลกิฟอสฟ่าเตสในเยื่องมดคูกหนะระยะก่อนและระยะแรกเริ่มที่มีการปั้งตัวของตัวอ่อน โดยวิธีวิเคราะห์ทางอิสตอเคมี

จากแผนภาพที่ 9 และ 10 พื้นที่บริเวณ apical part ของ luminal epithelium (รูปที่ 9 a, 10 a, และ 11 a) มีเอนไซม์แอลกิฟอสฟ่าเตสสูงที่สุด ส่วน luminal epithelium ของบริเวณ interimplantation site

(รูปที่ 10 b) glandular epithelium (รูปที่ 10 a, 10 b, และ 11 b ) และชั้น myometrium (รูปที่ 10 a และ 11 b) มีเนื้อไขมันปานกลาง ส่วน capillary, vein stroma เชลด์ (รูปที่ 10 a, 10 b, 11 b และ 11 c) มีเนื้อไขมันน้อย และพบร้า decidual เชลด์ของ implantation site (รูปที่ 10 a และ 11 a) มีเนื้อไขม์แอลิกฟอสฟ่าเตสสูงกว่า stroma เชลด์ของ interimplantation site (รูปที่ 10 b) เพียงเล็กน้อย

#### เปรียบเทียบผลการทำงานของเนื้อไขม์แอลิกฟอสฟ่าเตสในผนังมดลูกหนังของระยะ L<sub>4</sub> โดยวิธีวิเคราะห์ทางอีสโตรเคมี

พบว่าทุกชั้นของผนังมดลูกหนังถูกตัดรังไข่ระยะ L<sub>3</sub> (รูปที่ 9 b) หนูหองฉีด stelazine 4 mg/100 g./day (รูปที่ 9 c) และหนูหองถูกตัดรังไข่ออกหั้งส่องช้างระยะ L<sub>3</sub> แล้วฉีด progesterone 4 mg/100 g./day เพียงอย่างเดียว (รูปที่ 9 d) สูงกว่าหนูหองปกติ (รูปที่ 9 a) และหนูหองถูกตัดรังไข่ออกหั้งส่องช้างระยะ L<sub>3</sub> แล้วฉีด progesterone 4 mg/100 g./day + E.B. 0.1 µg/100 g./day (รูปที่ 9 e)

#### เปรียบเทียบผลการทำงานของเนื้อไขม์แอลิกฟอสฟ่าเตสในผนังมดลูกหนังของระยะ L<sub>6</sub> โดยวิธีวิเคราะห์ทางอีสโตรเคมี

พบร้า apical part ของ luminal epithelium, glandular epithelium, ชั้น myometrium และ stroma เชลด์ บริเวณใกล้ ๆ กับ luminal epithelium ของผนังมดลูกหนังฉีด stelazine 4 mg/100 g./day (รูปที่ 10 d) และหนูหองถูกตัดรังไข่ออกหั้งส่องช้างระยะ L<sub>3</sub> แล้วฉีด progesterone 4 mg/100 g./day เพียงอย่างเดียว (รูปที่ 10f) หรือฉีดรวมกับ E.B. 0.1 µg/100 g./day (รูปที่ 10 f) สูงกว่าในหนูหองปกติ

(รูปที่ 10 a) และหุ้นหองถูกตัดรังไข่ระยะ L<sub>3</sub> (รูปที่ 10 c) และ glandular epithelium ของหุ้นหองฉีด stelazine (รูปที่ 10 d) และหุ้นหองถูกตัดรังไข่แล้วฉีด progesterone เพียงอย่างเดียว (รูปที่ 10 e) ยังสูงกว่าในหุ้นหองถูกตัดรังไข่ แล้วฉีด progesterone + E.B. (รูปที่ 10 f)

ผลการทำงานของเอนไซม์แอลิคฟอสฟาเตสในผนังมดลูกและเยมสเตอร์ห้องระยะ L<sub>6</sub>  
โดยวิธีวิเคราะห์ทางอิสโตรเคมี

จากแผนภาพที่ 12 พบร้าบวิเวณ glandular epithelium และ luminal epithelium (รูปที่ 12 a และ 12 b) มีเอนไซม์แอลิคฟอสฟาเตสสูงมาก ส่วน decidual เซลล์ (รูปที่ 12 a) stroma เซลล์ (รูปที่ 12 b) capillary, vein และชั้น myometrium มีเอนไซม์น้อย (รูปที่ 12 a และ 12 b)

เปรียบเทียบการทำงานของเอนไซม์แอลิคฟอสฟาเตสในผนังมดลูกและเยมสเตอร์ห้องระยะ L<sub>6</sub>  
โดยวิธีวิเคราะห์ทางอิสโตรเคมี

พบร้าบวิเวณ luminal epithelium และ glandular epithelium ของผนังมดลูกและเยมสเตอร์ห้องปกติระยะ L<sub>6</sub> (รูปที่ 12 a และ 12 b) และของเยมสเตอร์ห้องฉีด stelazine 4 mg/100 g./day ตั้งแต่ระยะ L<sub>1</sub> ถึง L<sub>5</sub> (รูปที่ 12 c, 12 d และ 12 e) สูงกว่าในเยมสเตอร์ห้องถูกตัดรังไข่ระยะ L<sub>3</sub> (รูปที่ 12 f) ส่วนบวิเวณอื่น มี enzyme activity สูงพอ ๆ กัน (รูปที่ 12 a, 12 b, 12 c, 12 d, 12 e, และ 12 f) เมื่อเปรียบเทียบกันในแต่ละส่วน

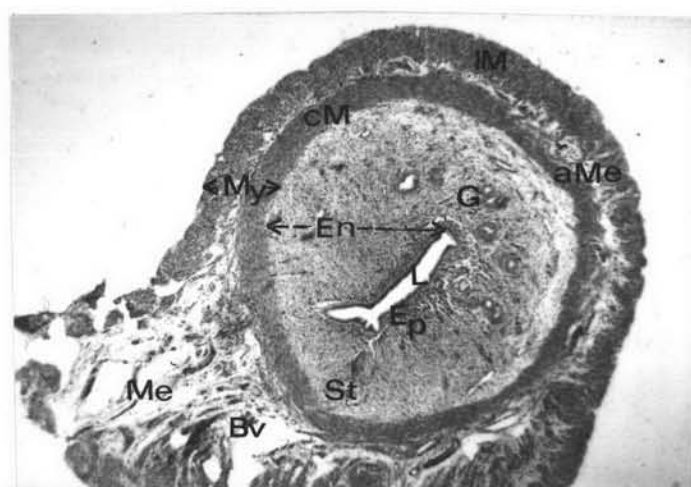
ແຜນກາພີ່ 1

ແສດງຫັນຕາງ ທີ່ ຂອງຜົນງມຄູກຫຼາຍະກອນທີ່ຈະມີກາຣັງຕົວຂອງກົວອອນ ( $L_4$ )

- B = Blastocyst
- Bv = Blood vessel
- En = Endometrium
- Ep = Epithelium
- G = Gland
- L = Lumen
- cM = circular Muscle
- lM = longitudinal Muscle
- Me = Mesometrium side
- aMe = Antimesometrium side
- My = Myometrium
- St = Stroma

ບໍອນກວາຢືນ Haematoxylin ແລະ Eosin

ກຳດັ່ງຂບາຍ X 32



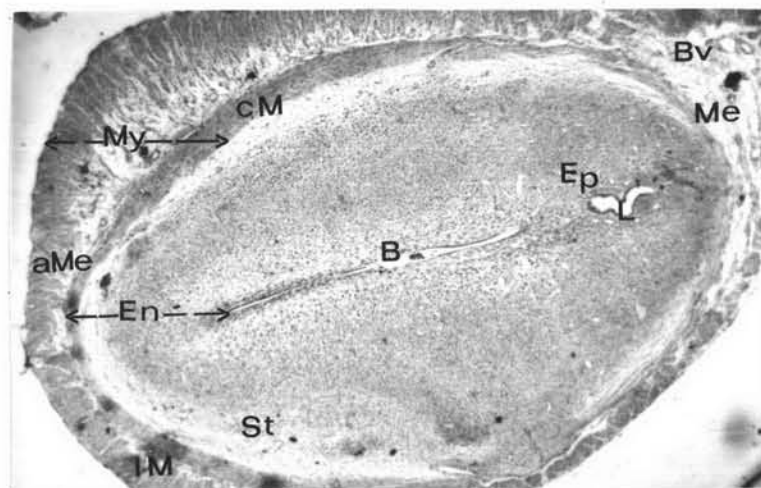
1

ແຜນກາພທີ່ 2

ແສດງຫັນຕາງ ພ ຂອງນັ້ນມຄລົກໜ້ຽນຮະແກເວີມທີ່ມີກາຣຝັງຕົວ  
ຂອງຕົວອອນ (L<sub>6</sub>)

ບອນຄວຍລື Haematoxylin ແລະ Eosin

ກຳລັງຂບາຍ X 32



2

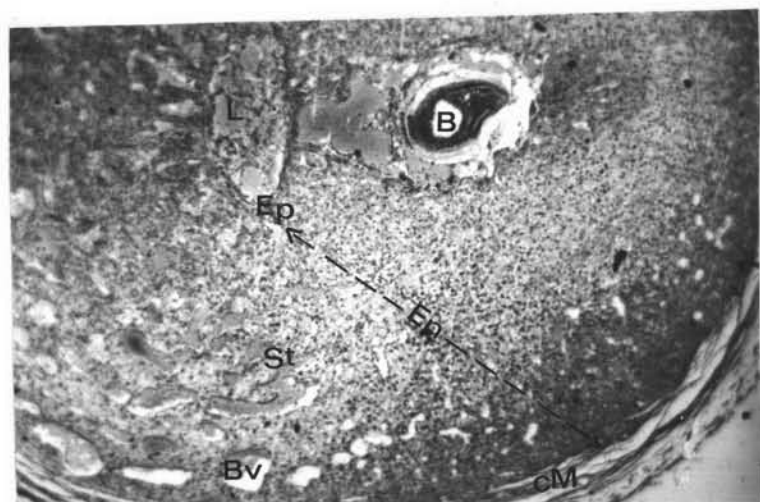
แผนภาพที่ 3

แสดงชั้นทาง ๆ ของผนังมดลูกแมลงสตอโรร์ ระยะแรกเริ่มที่มีการ  
ฟังตัวของตัวอ่อน ( $L_6$ )

- B = Blastocyst
- Bv = Blood vessel
- En = Endometrium
- Ep = Epithelium
- G = Gland
- L = Lumen
- cM = circular Muscle
- St = Stroma

ข้อมูล  
ป้อมความถี่ Haematoxylin และ Eosin

กำลังขยาย X 32



3

แผนภาพที่ 4

รูปที่ 4 a-e แสดงการทำงานของเอนไซม์อัลกาไลน์ฟอสฟาเตลในเยื่อบุผนังมดลูก  
หนทางระบำ L<sub>4</sub> บอร์บาร์บิที Calcium Co-balt

Methode

รูปที่ 4 a ในเยื่อบุผนังมดลูกหนทางปอดตี

กำลังขยาย X 80

รูปที่ 4 b ในเยื่อบุผนังมดลูกหนทางถุงตัวรังไข่ออกหงส่องช่างระบำ L<sub>3</sub>  
กำลังขยาย X 80

รูปที่ 4 c ในเยื่อบุผนังมดลูกหนทางฉีด stelazine ตั้งแต่ L<sub>1</sub> - L<sub>3</sub>  
กำลังขยาย X 80

รูปที่ 4 d ในเยื่อบุผนังมดลูกหนทางถุงตัวรังไข่ออกหงส่องช่างระบำ L<sub>3</sub>  
แลวฉีด progesterone

กำลังขยาย X 80

รูปที่ 4 e ในเยื่อบุผนังมดลูกหนทางถุงตัวรังไข่ออกหงส่องช่างระบำ L<sub>3</sub>  
แลวฉีด progesterone + E.B.

กำลังขยาย X 80

Bv = Blood vessel

Cv = Capillary and Vein

Ep = Epithelium

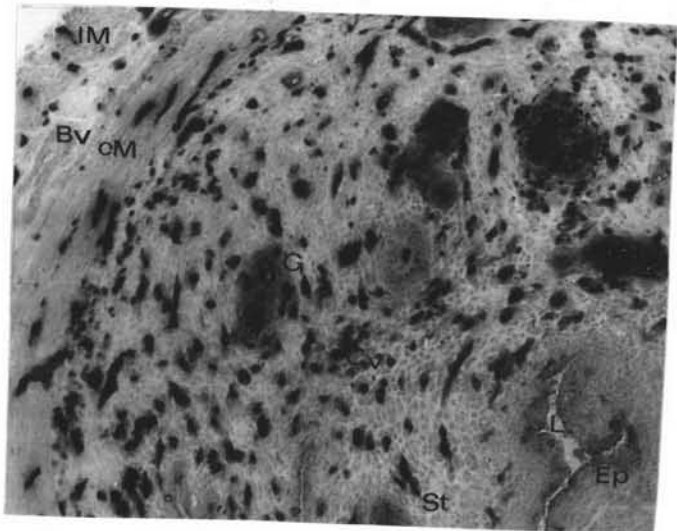
G = Gland

L = Lumen

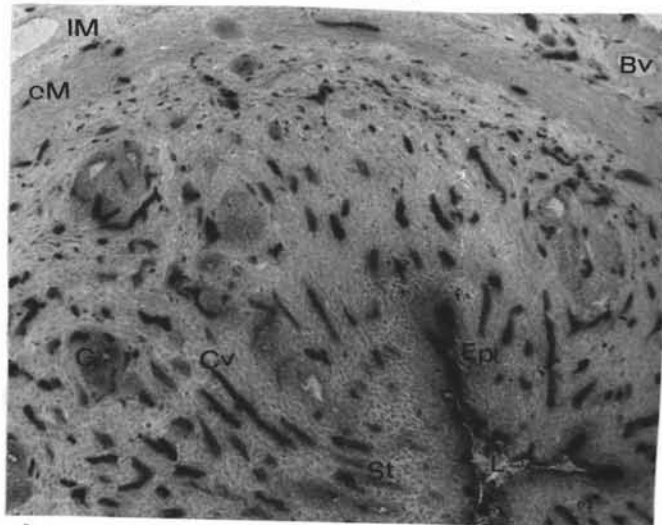
cM = Circular Muscle

lM = Longitudinal Muscle

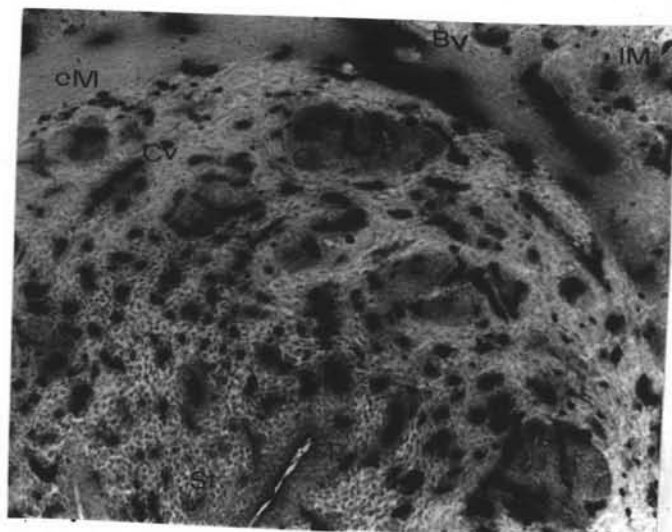
St = Stroma



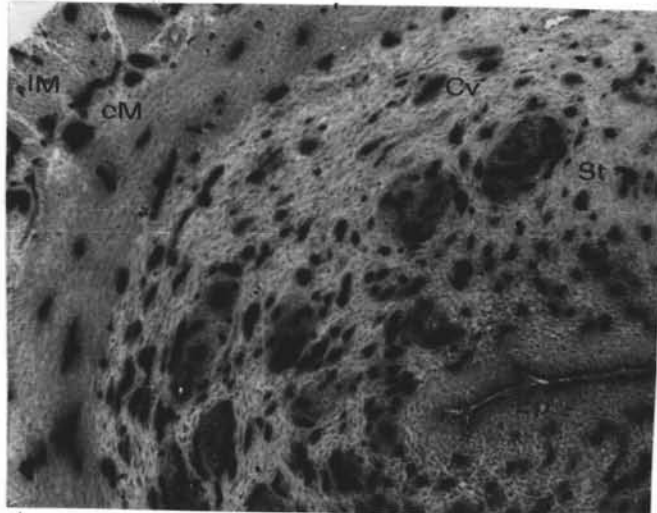
4a



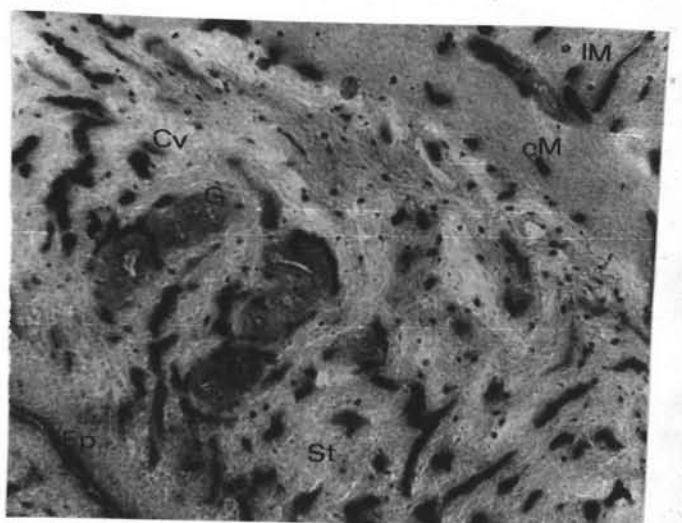
4b



4c



4d



4e

แผนภาพที่ 5

รูปที่ 5 a-f

แสดงการทำงานของเอนไซม์อัลก้าไนฟ์อฟฟาเตลส์ในเยื่องมดลูกหนู

ห้องระยีบ L<sub>6</sub> ข้อมูลวิธี Calcium Co-balt Methode

รูปที่ 5 a ในเยื่องมดลูกหนูห้องปักติ บริเวณ implantation

site

กำลังขยาย X 80

รูปที่ 5 b ในเยื่องมดลูกหนูห้องปักติ บริเวณ interimplan-  
tation site

กำลังขยาย X 80

รูปที่ 5 c ในเยื่องมดลูกหนูห้องถุงตัครังไข่ออกทึ้งสองข้างระยีบ L<sub>3</sub>

กำลังขยาย X 80

รูปที่ 5 d ในเยื่องมดลูกหนูห้องถุงตัครังไข่ออกทึ้งสองข้างระยีบ L<sub>1</sub>-L<sub>5</sub>  
ยาดี stelazine ทึ้งแทรบระยีบ L<sub>1</sub>-L<sub>5</sub>

กำลังขยาย X 80

รูปที่ 5 e ในเยื่องมดลูกหนูห้องถุงตัครังไข่ออกทึ้งสองข้างระยีบ L<sub>3</sub>

ยาดี progesterone ชนถึง L<sub>5</sub>

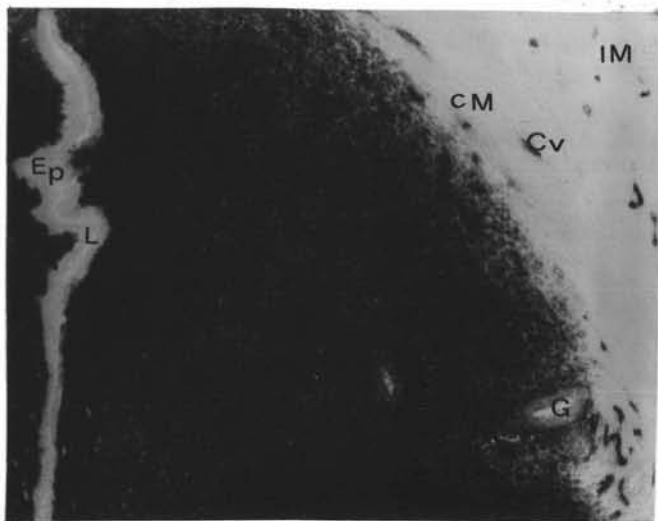
กำลังขยาย X 80

รูปที่ 5 f ในเยื่องมดลูกหนูห้องถุงตัครังไข่ออกทึ้งสองข้างในระยีบ L<sub>3</sub>

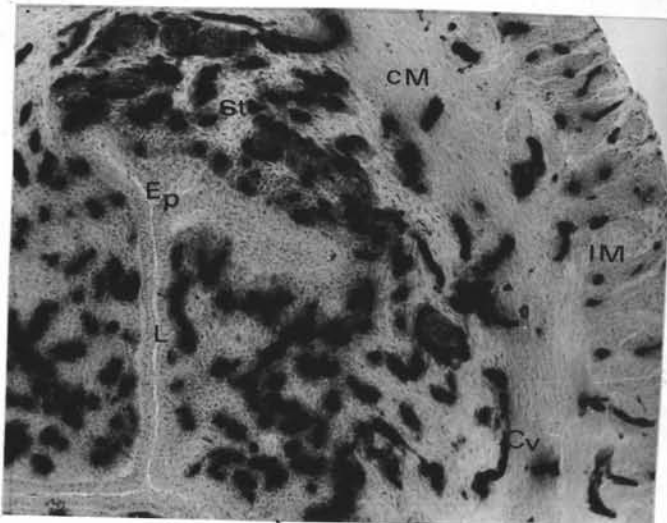
ยาดี progesterone + E.B. ชนถึงระยีบ L<sub>5</sub>

กำลังขยาย X 80

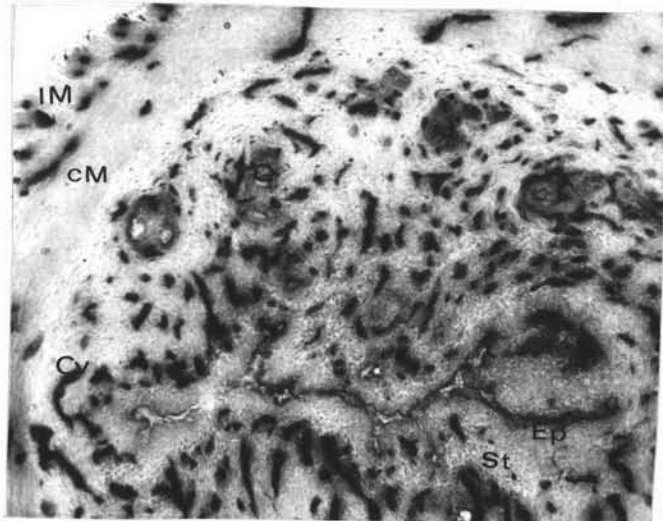
D = Decidual tissue



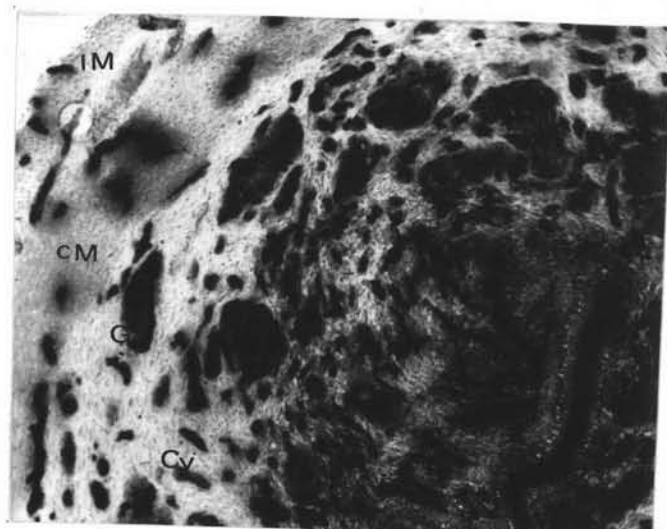
5 a



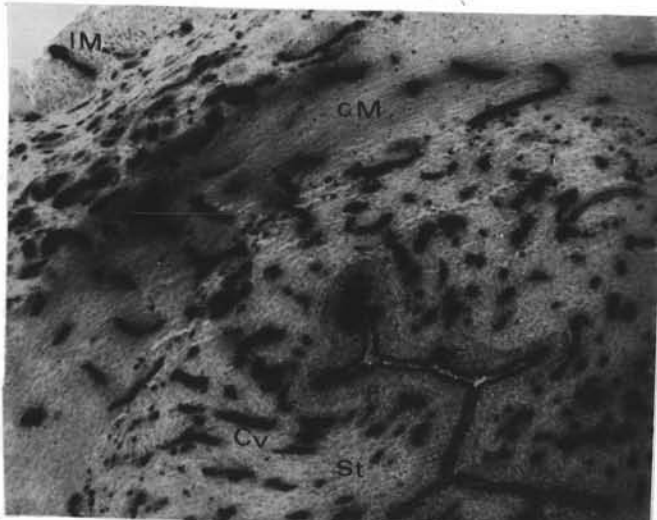
5 b



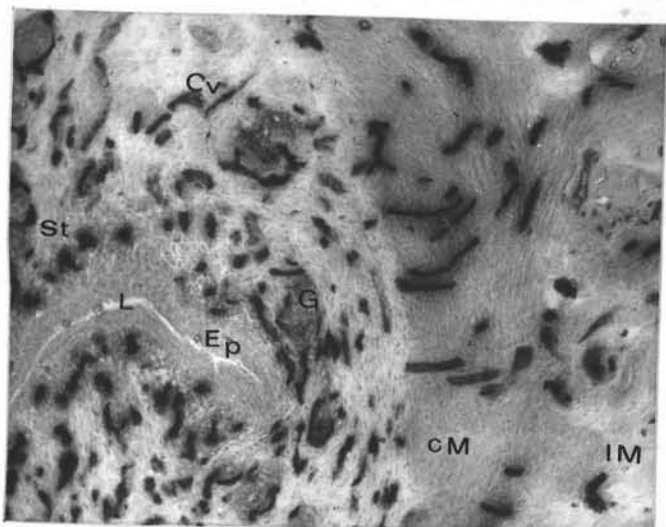
5 c



5 d



5 e



5 f

แผนภาพที่ 6

รูปที่ 6a-f แสดงการทำงานของเอนไซม์อัลก้าไลน์ฟอสฟ่าเตสในผนังมดลูกหนูทองระยะ<sup>ห</sup>  
ทองระยะ L<sub>6</sub> ข้อมูลวิธี Calcium Co-balt Methode

รูปที่ 6 a ใน endometrial gland, capillaries และ vein ของผนังมดลูกหนูทองปักติบริเวณ implantation site

กำลังขยาย X 320

รูปที่ 6 b ใน endometrial gland, capillaries และ vein ของผนังมดลูกหนูทองปักติ บริเวณ interimplantation site

กำลังขยาย X 320

รูปที่ 6 c ใน luminal epithelium, capillaries และ vein ของผนังมดลูกหนูทองปักติ บริเวณ interimplantation site

กำลังขยาย X 320

รูปที่ 6 d Large blood vessel ในชั้น myometrium ของผนังมดลูกหนูทองปักติ บริเวณ implantation site

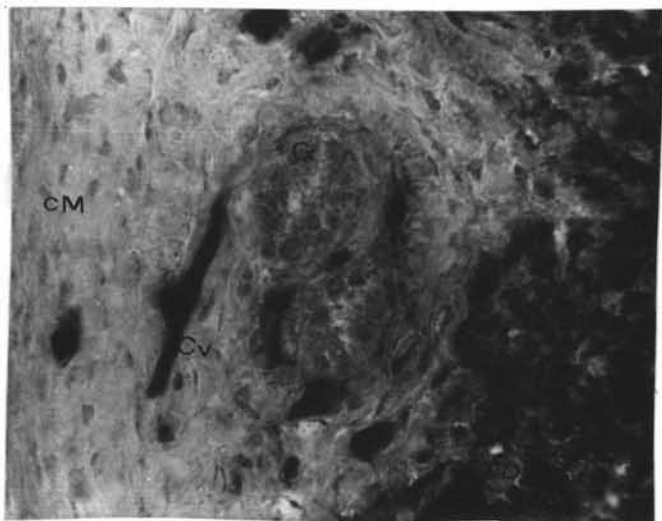
กำลังขยาย X 320

รูปที่ 6 e ใน luminal epithelium, glandular epithelium, capillaries และ vein ของผนังมดลูกหนูทองปักติ stelazine ตั้งแต่ระยะ L<sub>1</sub>-L<sub>5</sub>

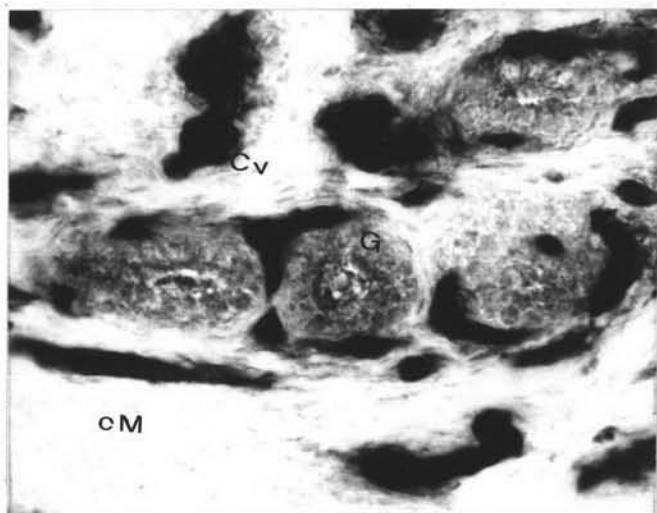
กำลังขยาย X 320

รูปที่ 6 f ใน Large blood vessel และ capillaries และ vein ในชั้น myometrium ของผนังมดลูกหนูทองปักติ stelazine ตั้งแต่ระยะ L<sub>1</sub>-L<sub>5</sub>

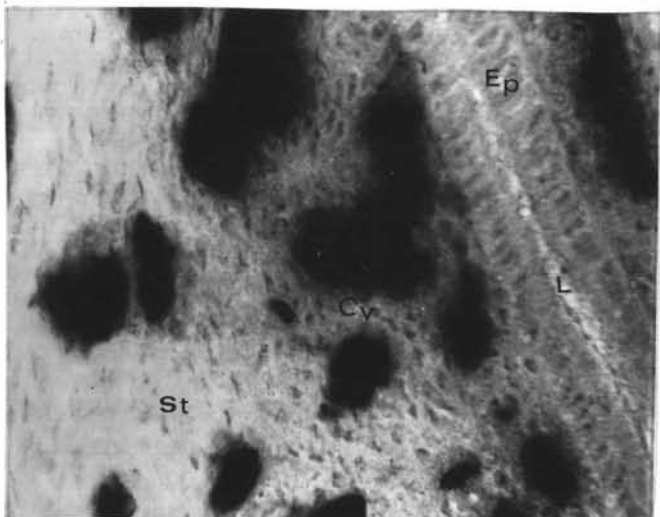
กำลังขยาย X 320



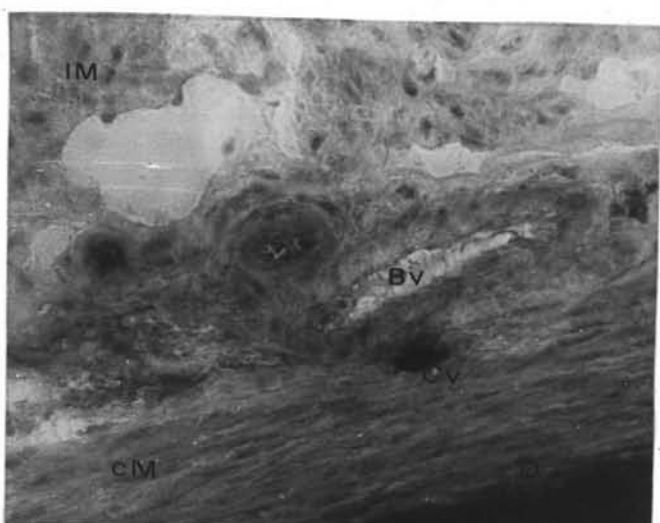
6 a



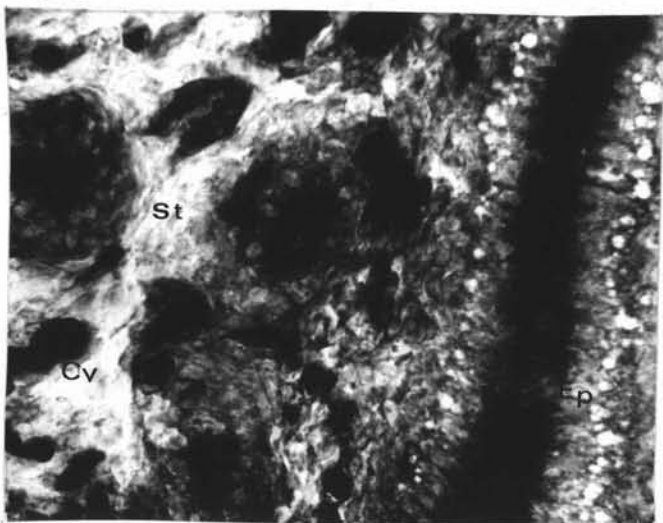
6 b



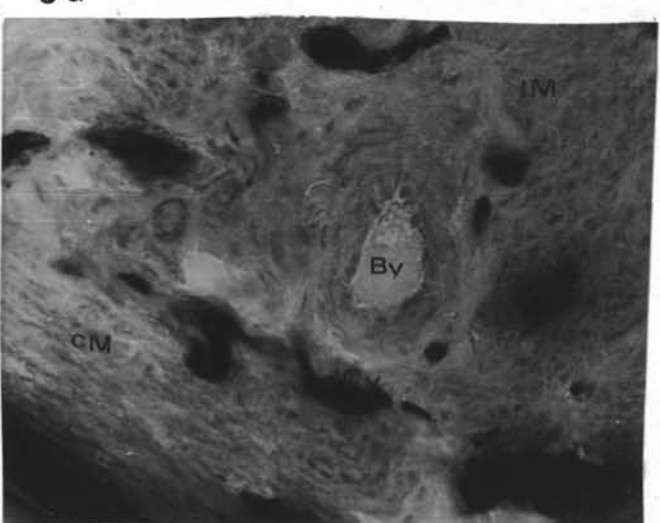
6 c



6 d



6 e



6 f

แผนภาพที่ 7

รูปที่ 7a-e

แสดงการทำงานของเอนไซม์อัลตราไนฟอสฟ่าเตสในผนังมดลูก  
แย่มส์เตอร์ห้องระบบ  $L_6$  ข้อมูลวิธี Calcium

Co-balt Methode

รูปที่ 7 a ในผนังมดลูกแย่มส์เตอร์ห้องถุงตัวครั้งไข่ระบบ  $L_3$

กำลังขยาย X 80

รูปที่ 7 b ในผนังมดลูกแย่มส์เตอร์ห้องปักติบิเวณ

implantation site

กำลังขยาย X 80

รูปที่ 7 c ในผนังมดลูกแย่มส์เตอร์ห้องปักติ บริเวณ

interimplantation site

กำลังขยาย X 80

รูปที่ 7 d ในผนังมดลูกแย่มส์เตอร์ห้องน้ำ stelazine

ตั้งแต่  $L_1$  ถึง  $L_5$  บริเวณ

implantation site

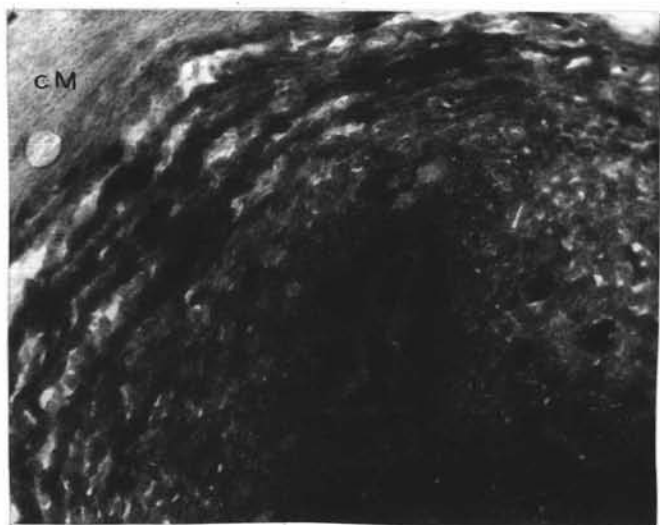
กำลังขยาย X 80

รูปที่ 7 e ในผนังมดลูกแย่มส์เตอร์ห้องน้ำ stelazine

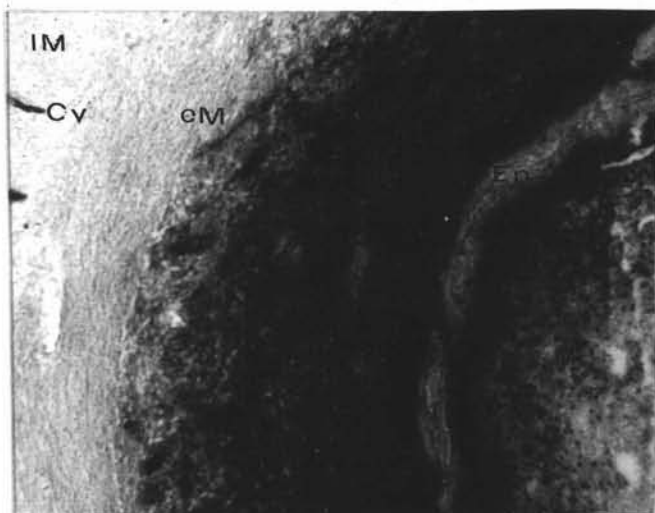
ตั้งแต่  $L_1$  ถึง  $L_5$  บริเวณ

interimplantation site

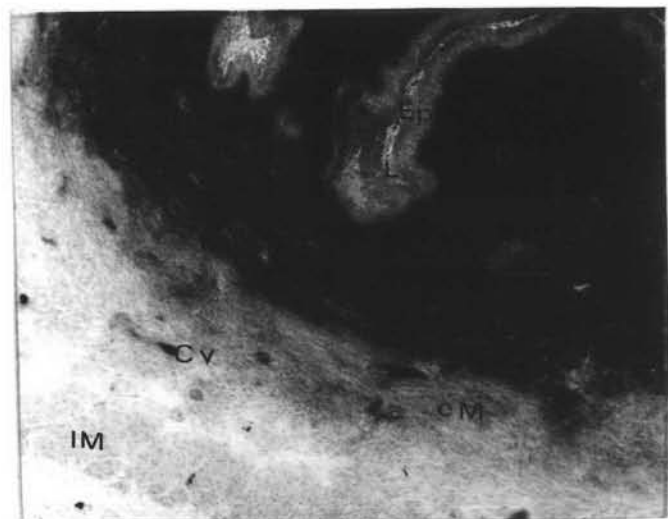
กำลังขยาย X 80



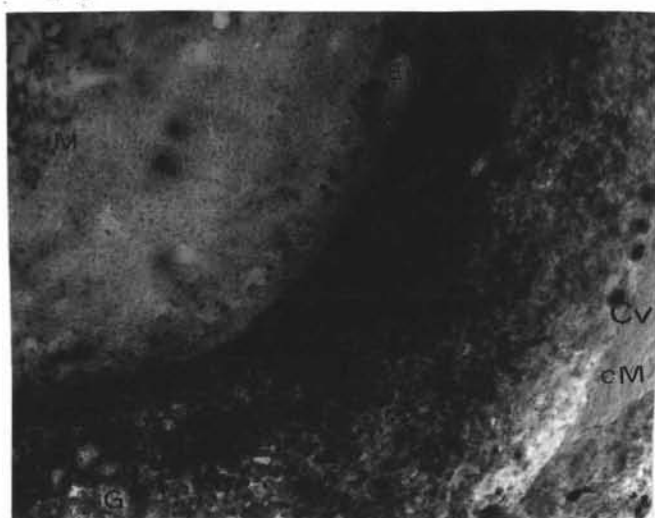
7a



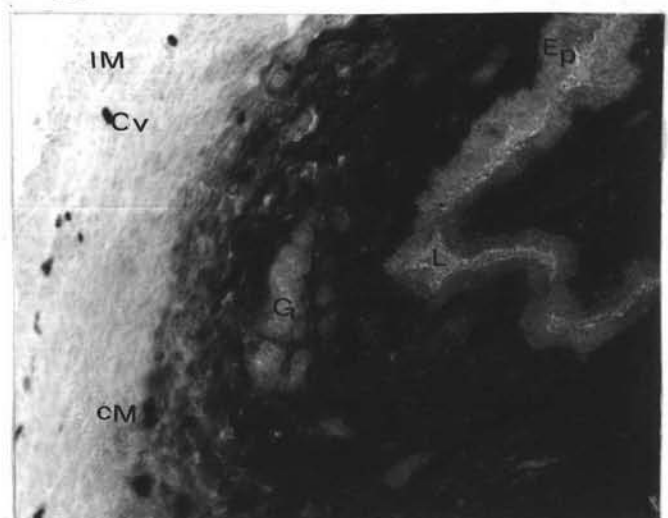
7b



7c



7d

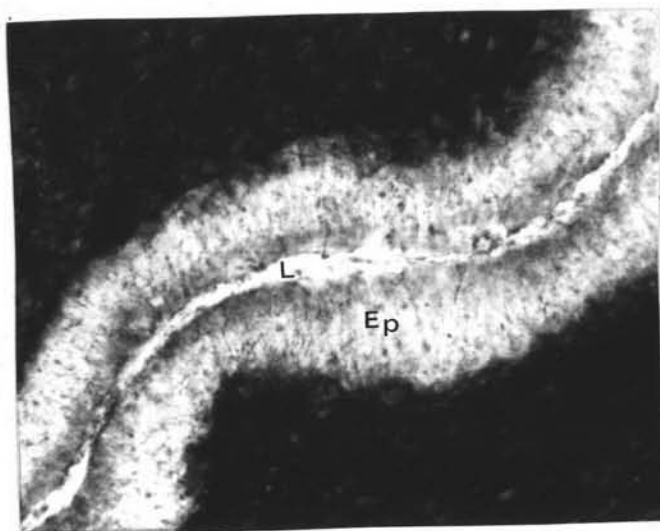


7e

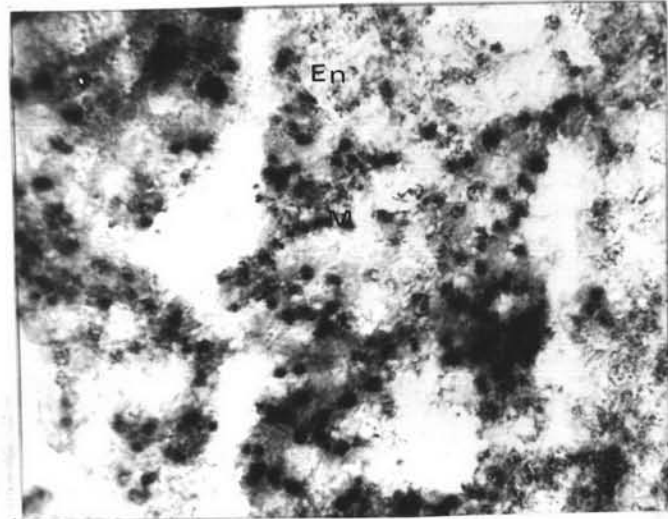
แผนภาพที่ 8

- รูปที่ 8 a-f แสดงการทั่วงานของเนื้อเยื่ออัลตราไนฟ์ฟลามพ์ในผนังคลุก  
แยมสเตอร์ของระบบ L<sub>6</sub> บ่อนความวิธี Calcium  
Co-balt Methode
- รูปที่ 8 a ในผนังคลุกแยมสเตอร์ห้องปักติ บริเวณ  
luminal epithelium ของ  
interimplantation site  
กำลังขยาย X 320
- รูปที่ 8 b ในผนังคลุกแยมสเตอร์ห้องปักติ แสดง  
monocyte cell ใน endometrium  
บริเวณ implantation site
- รูปที่ 8 c ในผนังคลุกแยมสเตอร์ห้องถุงตัครังไข่ออกทั้งสอง  
ข้างระบบ L<sub>3</sub> แสดง luminal  
epithelium
- รูปที่ 8 d ในผนังคลุกแยมสเตอร์ห้องถุงตัครังไข่ออกทั้งสอง  
ข้างระบบ L<sub>3</sub> แสดงบริเวณ glandular  
epithelium, Capillary และ vein  
กำลังขยาย X 320
- รูปที่ 8 e ในผนังคลุกแยมสเตอร์ห้องถุงตัครังไข่ stelazine  
ตั้งแต่ L<sub>1</sub>-L<sub>5</sub> บริเวณ  
implantation site  
กำลังขยาย X 320
- รูปที่ 8 f ในผนังคลุกแยมสเตอร์ห้องถุงตัครังไข่ stelazine  
ตั้งแต่ L<sub>1</sub> - L<sub>5</sub> บริเวณ implantation  
site แสดง monocyte cell ใน  
endometrium  
กำลังขยาย X 320

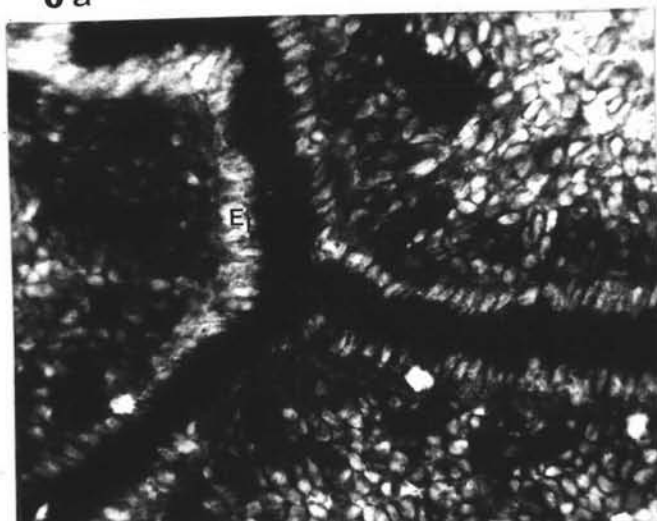
M = Monocyte



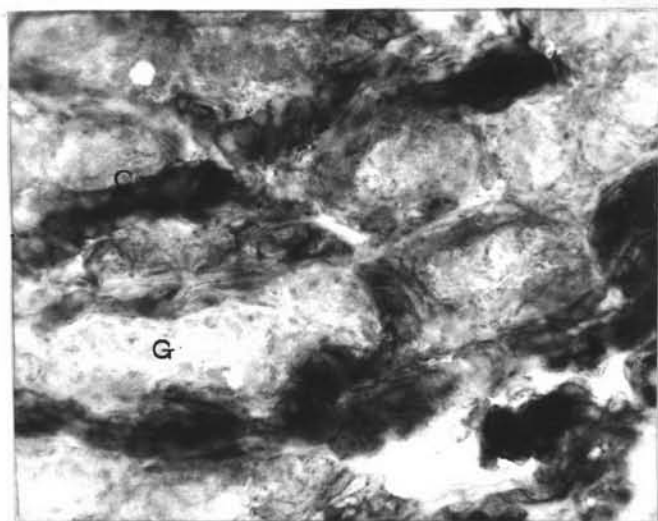
8a



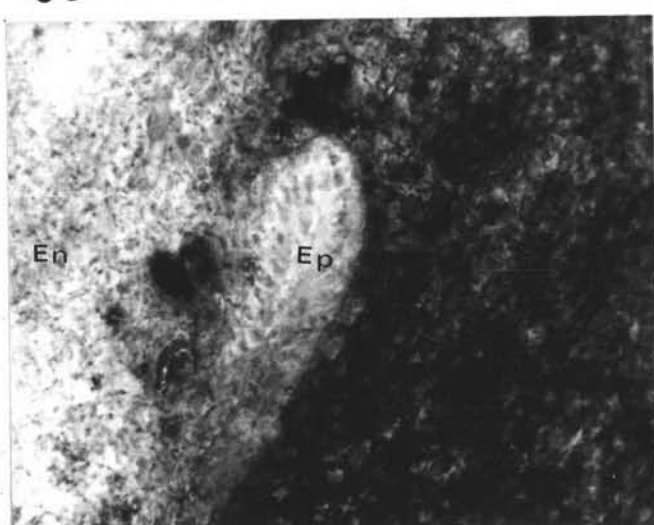
8b



8c



8d



8e



8f

แผนภาพที่ 9

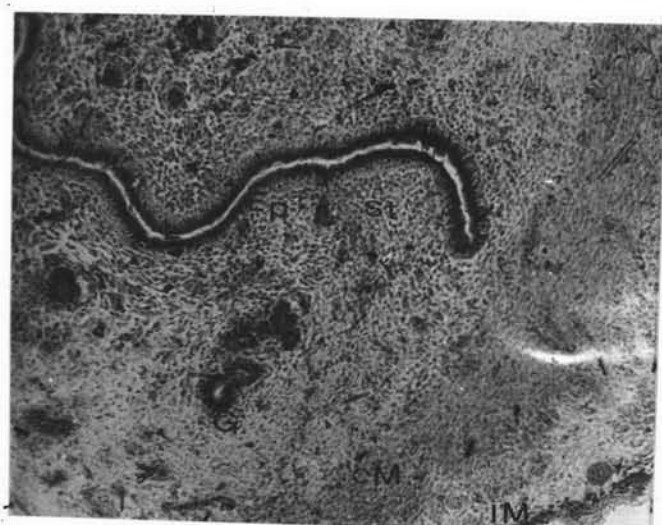
- รูปที่ 9 a-c แสดงการทำงานของเอนไซม์แอติกฟอสฟ่าเตลสินยนังมคลุกหนู  
ทางระบบ  $L_4$  ข้อมูลวิธี Lead Nitrate Methode
- รูปที่ 9a ในยนังมคลุกหนูของป่าคี  
กำลังขยาย X 80
- รูปที่ 9 b. ในยนังมคลุกหนูของฤกตัครังใช้ออกทึ้งสองข้าง  
ระบบ  $L_3$   
กำลังขยาย X 80
- รูปที่ 9 c ในยนังมคลุกหนูของฉีด stelazine  
ทึ้งแต่  $L_1 - L_3$   
กำลังขยาย X 80
- รูปที่ 9 d ในยนังมคลุกหนูของฤกตัครังใช้ออกทึ้งสองข้าง  
ระบบ  $L_3$  และฉีด progesterone  
กำลังขยาย X 80
- รูปที่ 9 e ในยนังมคลุกหนูของฤกตัครังใช้ออกทึ้งสองข้าง  
ระบบ  $L_3$  และฉีด progesterone +  
E.B.  
กำลังขยาย X 80



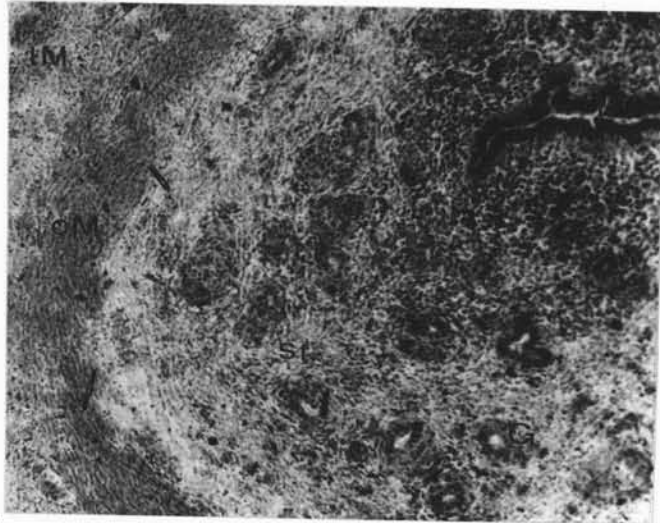
9a



9b



9c



9d



9e

แผนภาพที่ 10

รูปที่ 10 a-f แสดงการทำงานของเอนไซม์แอดีกฟอสฟ่าเตสในผนังมดลูกหนู  
ห้องระบบ  $L_6$  ข้อมูลวิธี Lead Nitrate Methode

รูปที่ 10 a ในผนังมดลูกหนูห้องปกติ บริเวณ

implantation site

กำลังขยาย X 80

รูปที่ 10 b ในผนังมดลูกหนูห้องปกติ บริเวณ

interimplantation site

กำลังขยาย X 80

รูปที่ 10 c ในผนังมดลูกหนูห้องถุงตัครังไข่ออกหั้งสอง

ชั่งระบบ  $L_3$

กำลังขยาย X 80

รูปที่ 10 d ในผนังมดลูกหนูห้องฉีด stelazine

ตั้งแต่ระบบ  $L_1 - L_5$

กำลังขยาย X 80

รูปที่ 10 e ในผนังมดลูกหนูห้องถุงตัครังไข่ออกหั้งสองชั่ง

ระยะ  $L_3$  และฉีด progesterone

ภายในหลังจากตัครังไข่จนถึงระยะ  $L_5$

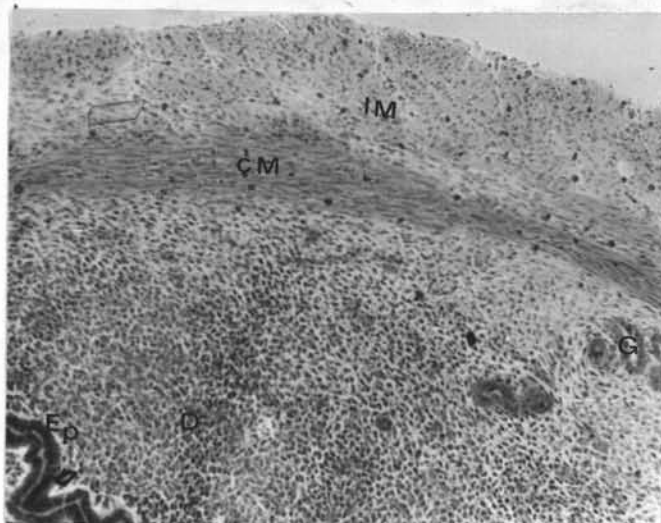
กำลังขยาย X 80

รูปที่ 10 f ในผนังมดลูกหนูห้องถุงตัครังไข่ออกหั้งสองชั่ง

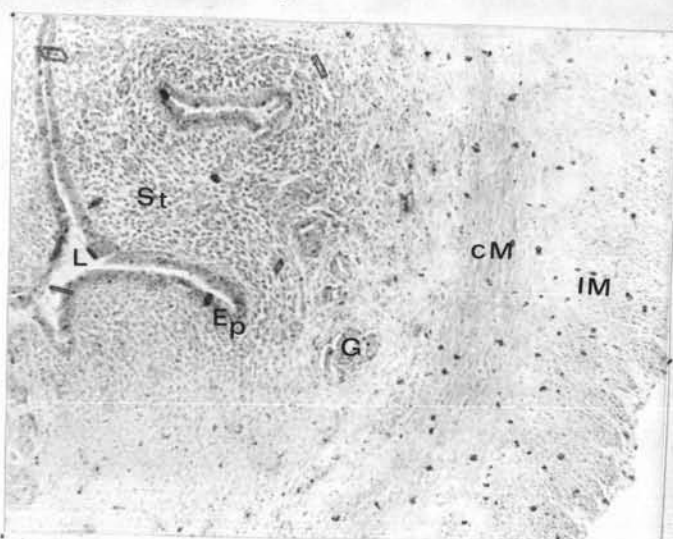
ระยะ  $L_3$  และฉีด progesterone +

E.B. ภายในหลังจากตัครังไข่จนถึงระยะ  $L_5$

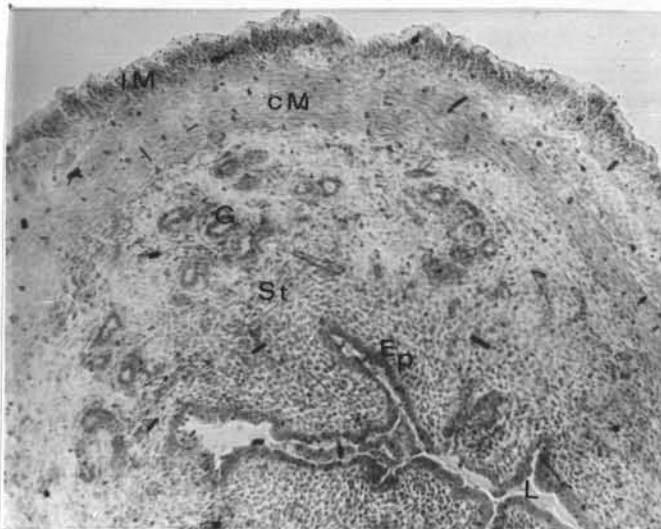
กำลังขยาย X 80



10a



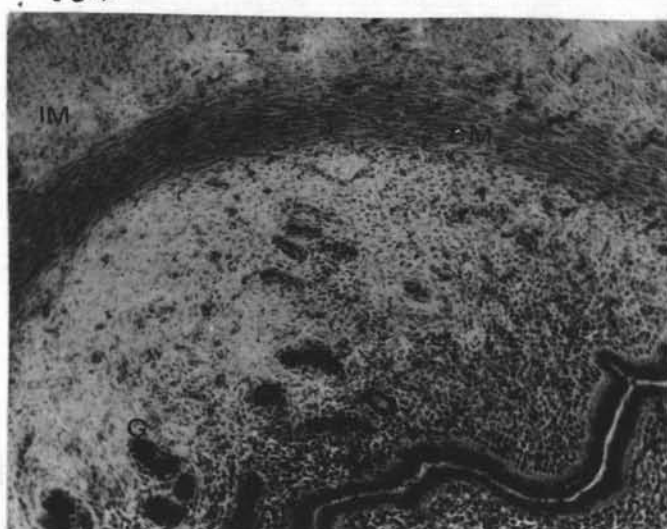
10b



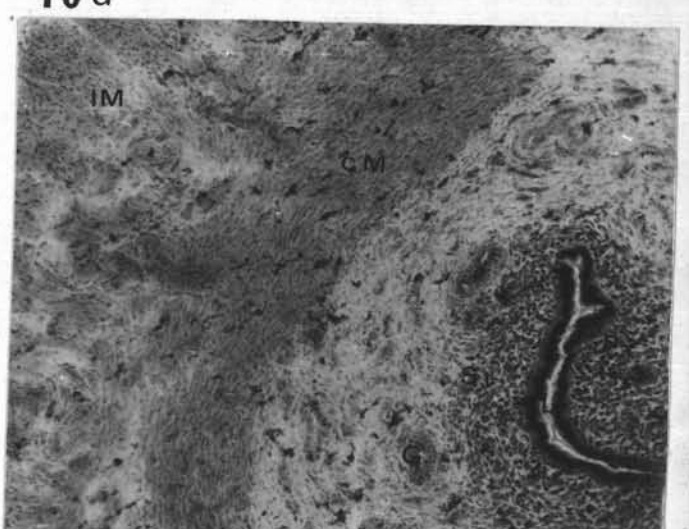
10c



10d



10e



10f

ແຜນກາພີ່ 11

ຮູບທີ 11 a-c ແສດກາຣທໍາງນາຂອງເອົນໄຊມໍແລືກພຼັສິພາເຕັລີໃນຍັງນັກລູກໜູ  
ຫອງປົກຕິຮະບະ  $L_6$  ຍົມຄວຍວິຊີ Lead Nitrate

**Methode**

ຮູບທີ 11a ບຣິເວລ luminal epithelium

ກຳລັງຂໍຢາຍ X 320

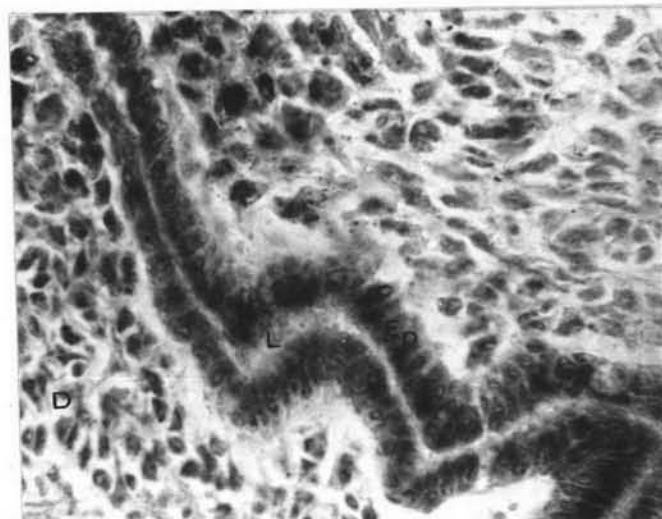
ຮູບທີ 11b ບຣິເວລ glandular epithelium

ກຳລັງຂໍຢາຍ X 320

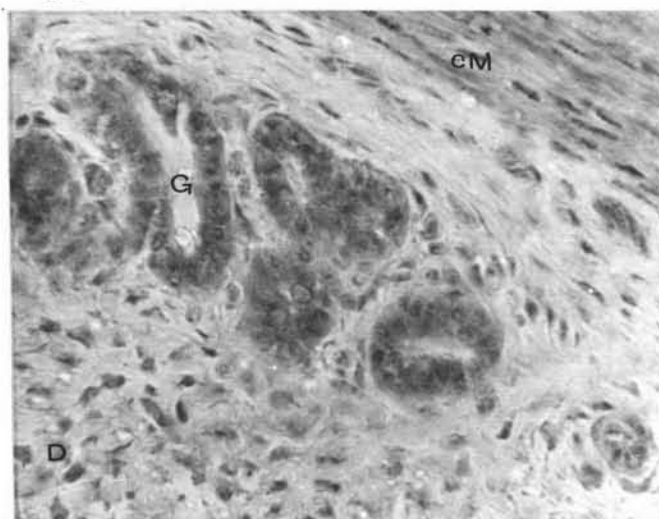
ຮູບທີ 11c ບຣິເວລ arteries

ກຳລັງຂໍຢາຍ X 320

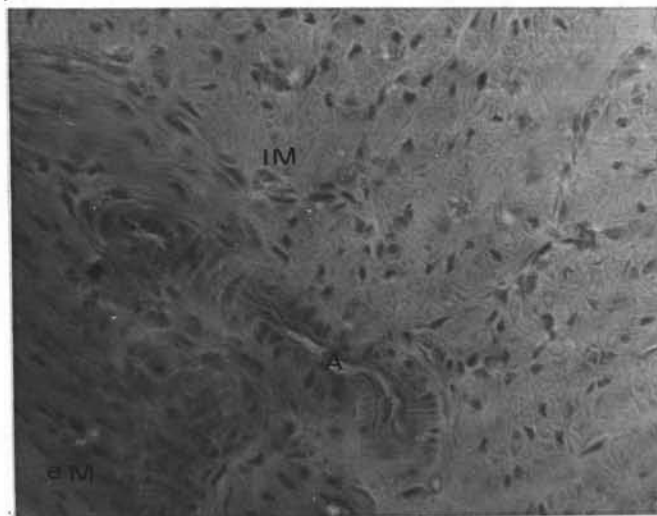
A = artery



11a



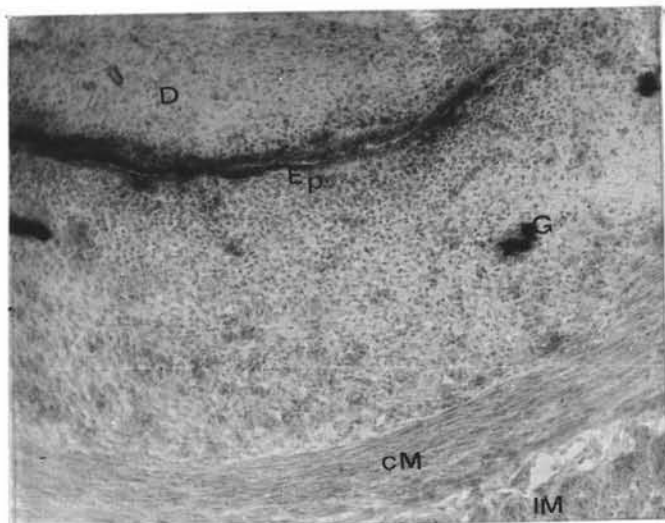
11b



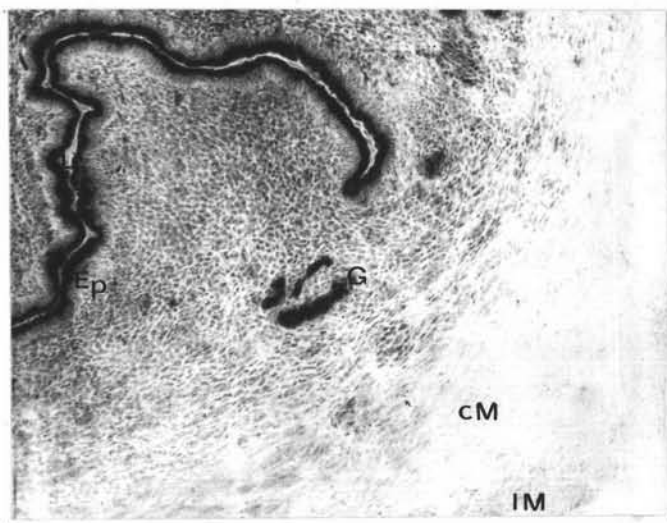
11c

แผนภาพที่ 12

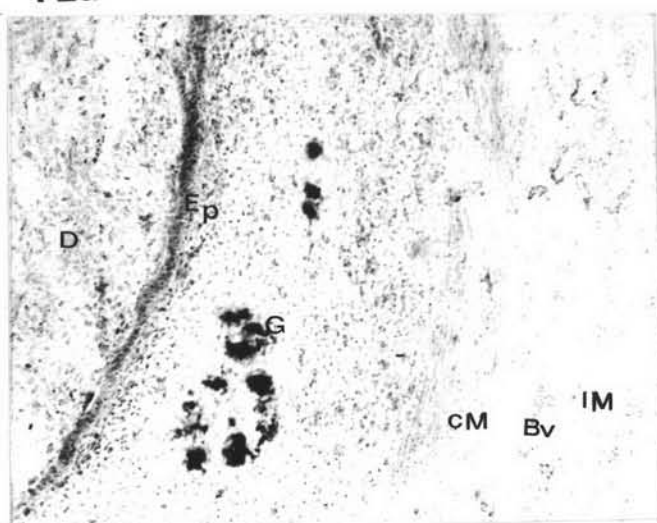
- รูปที่ 12 a-f แสดงการทำงานของเงินไขม์แอลิกฟ้อสเทสในผนังคลอก  
แ昏สเตอร์หงกระยะ  $L_6$  ย้อมขาววิชี Lead
- Nitrate Methode**
- รูปที่ 12 a ในผนังคลอกแ昏สเตอร์หงปกติ บริเวณ  
implantation site  
กำลังขยาย X 80
- รูปที่ 12 b ในผนังคลอกแ昏สเตอร์หงปกติ บริเวณ  
interimplantation site  
กำลังขยาย X 80
- รูปที่ 12 c ในผนังคลอกแ昏สเตอร์หงฉีด stelazine  
ทั้งแทรบะ  $L_1 - L_5$  บริเวณ  
implantation site  
กำลังขยาย X 80
- รูปที่ 12 d ในผนังคลอกแ昏สเตอร์หงฉีด stelazine  
ทั้งแทรบะ  $L_1 - L_5$  บริเวณ  
interimplantation site  
กำลังขยาย X 80
- รูปที่ 12 e ในผนังคลอกแ昏สเตอร์หงฉีด stelazine  
ทั้งแทรบะ  $L_1 - L_5$  บริเวณ  
implantation site  
กำลังขยาย X 80
- รูปที่ 12 f ในผนังคลอกแ昏สเตอร์หงฉีดกัดรังไข่  
ออกหงส่องทางกระยะ  $L_3$   
กำลังขยาย X 80



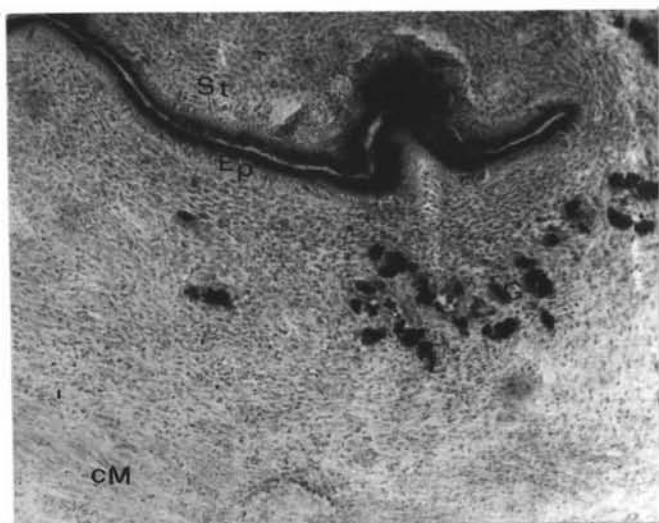
12a



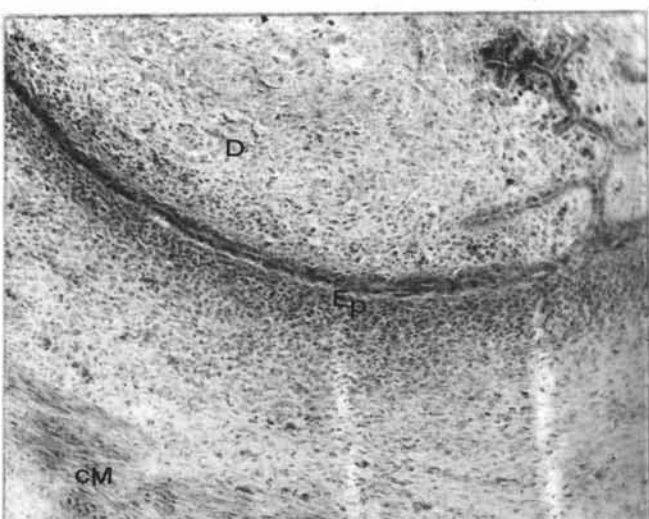
12b



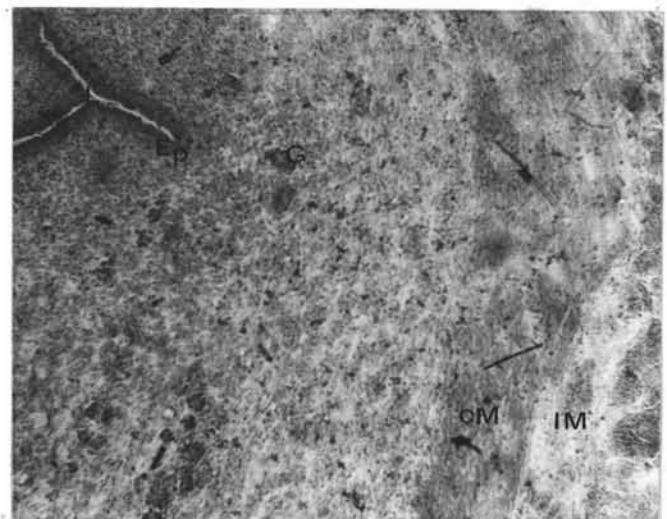
12c



12d



12e



12f